三次元有限要素法解析による座金部品のゆるみ止め性能評価

Evaluation of Loosening Resistance Performance of Washer Parts by Three-dimensional Finite Element Analysis

○学 横山 喬 (東大院)

学 大石 邦央 (東大院)

Takashi YOKOYAMA The University of Tokyo Kunio OISHI The University of Tokyo

木村 成竹 (トヨタ)

正 泉 聡志 (東大院)

正 酒井 信介(東大院)

Masatake KIMURA Toyota Motor Corporation Satoshi IZUMI The University of Tokyo Shinsuke SAKAI The University of Tokyo

Key Words: Finite Element Method, Contact Problem, Bolted Joint, Loosening, Conical Spring Washer

1. 緒 言

ねじ締結体において、ゆるみを防止することは大変重大な 課題である。締結部にゆるみが原因となり、破損や事故に至 る事例は数多く報告されている。ゆるみ対策として、ボルト 締結部には様々なゆるみ止め部品が使用されている。

ねじのゆるみについては、ねじ山のらせん形状を考慮した 三次元有限要素モデルにより再現することが可能となって おり、ダブルナット締結法、フランジナット、平座金等のゆ るみ止め部品の効果についても検証を行うことが可能であ る⁽¹⁾⁽²⁾. 本報では三次元有限要素法によるゆるみ解析手法を 用いて、古くから産業界で使用されている皿ばね座金につい て、そのゆるみ止め効果の検証を行う.

2. 解 析 手 法

ボルト締結体のゆるみは、被締結物に軸直角方向の外力が

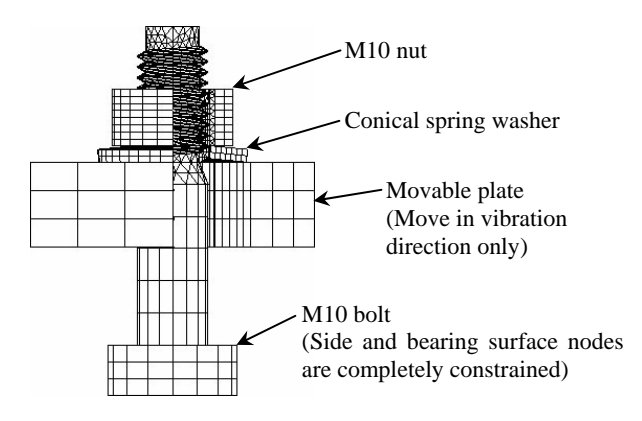


Fig.1. Finite element model of bolted joint with conical spring washer subjected to transverse load.

(1/4 of nut, washer, and clamped component are visually removed)

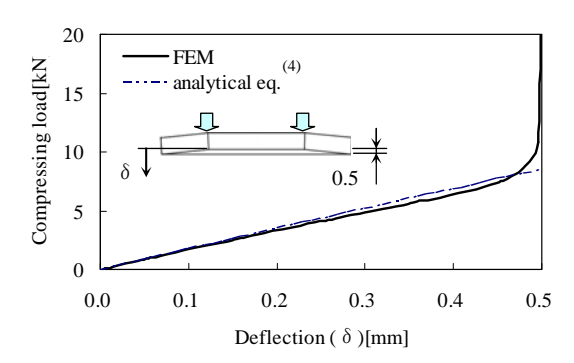


Fig.2. Compressing property of conical spring washer.

作用する場合に最も発生しやすいと考えられる. この条件で のゆるみを扱う研究では,被締結物間に転動体(ころ)を挟 むことで摩擦を低減した, Junker 式試験機が広く用いられて きた(3). 本研究では有限要素法解析において Junker 式試験機 をモデル化し、軸直角方向外力によるゆるみの進行の様子か ら,皿ばね座金の効果を検証する.有限要素モデルを図1に 示す. 解析ソフトとして ANSYS10.0 を使用する. 対象は M10 の締結体で、ねじ山のらせん形状を考慮したモデルである. ただし、本解析は詳細な応力解析を目的としないため、ねじ 谷底の丸み等の詳細な形状は考慮していない. 皿ばね座金は, JIS B1251 に規定される 1 種軽荷重用をナット座面下に配置 した. 皿ばね座金単体の圧縮特性を図2に示す. 皿ばね座金 の全たわみ量は 0.5mm である. 被締結物は可動板の一部の みをモデル化し、軸直角方向外力として、端面に変位、もし くは力荷重を作用させる. ねじ面, および座面の接触につい ては、接触部に面-面接触要素を設定することで接触状態を 再現する. 初期締結力は、被締結物と皿ばね座金を初期干渉 させることで発生させ, 10kN および 20kN とした場合を扱う. 材料特性は、すべての構成要素について、ヤング率 205GPa, ポアソン比 0.3,接触面摩擦係数 0.15 とする.解析は準静的 解析とし、幾何学的非線形を考慮した弾性解析である.

作用させる軸直角方向外力については、可動板端面に強制変位を与え、完全座面すべりの状態となる場合、および完全座面すべりの発生よりも小さな力荷重の作用により微小座面すべりの状態となる場合を扱い、皿ばね座金がない場合とのゆるみの進行の様子の比較を行う.

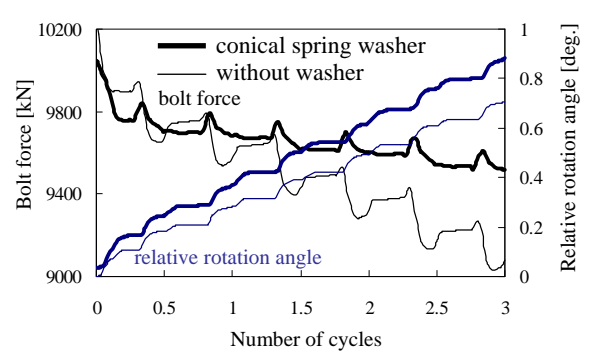
3. 解析結果と考察

3.1 完全座面すべりが発生する場合 初期締結力を 10kN と した場合、および 20kN とした場合の、振動周期に対するナ ットのゆるみ回転の進行の様子,及び軸力低下の様子を図3 に示す. 比較のために、皿ばね座金を用いない場合の結果を 併せて示す. 可動板の並進変位量は、初期締結力が 10kN の 場合には±0.4mm, 20kN の場合には±0.2mm として, 完全 座面すべりを発生させた. 図 3(a)より, 初期締結力が 10kN の場合には、皿ばね座金を用いた場合の方がゆるみ回転は大 きいことが分かる. 第3周期におけるゆるみ角は、皿ばね座 金を用いた場合が 0.26° であるのに対して、皿ばね座金を用 いない場合は0.21°である.原因は、皿ばね座金とナット座 面間の接触圧力が皿ばね座金の内径付近で大きいためであ ると考えられる. 皿ばね座金とナット座面間の接触圧力分布 を図4に示す. 比較のために、上段に皿ばね座金を用いた場 合,下段に皿ばね座金を用いない場合を示す. 皿ばね座金の 圧力分布に基づいた摩擦トルクの等価直径は 12.4mm である

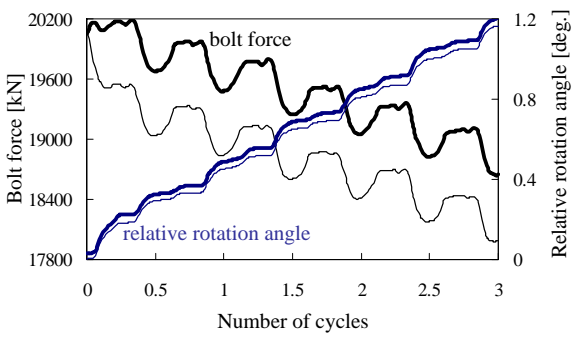
のに対して、皿ばね座金を用いない場合に座面圧が一様であると仮定した場合の摩擦トルクの等価直径は14.6mmである.したがって、皿ばね座金を使用した場合には内径付近に圧力が偏るため、摩擦トルクは小さくなるといえる.

一方、軸力低下量に関しては、皿ばね座金を用いた場合の方が小さいことが分かる。第 3 周期における軸力低下量は、皿ばね座金を用いた場合が 81N であるのに対して、皿ばね座金を用いない場合は 242N である。図 2 に示した皿ばね座金の圧縮特性から分かるように、皿ばね座金を用いた場合には、皿ばね座金の全たわみに達するまでのおよそ 10kN 以下(荷重特性の線形領域)の軸力は皿ばね座金のばね力によって発生する。10kN における皿ばね座金のばね力によって発生する。10kN における皿ばね座金のばね定数は 1.29×10⁵N/mm であるのに対し、LORI らの式(5)を用いて計算した被締結物の圧縮ばね定数は 1.94×10⁶N/mm である。ばね定数が大きいほどナットのゆるみ回転に対する軸力の低下量は大きいことから、皿ばね座金を用いた場合には軸力低下の進行が抑制されるものと考えられる。

図 3(b)より、初期締結力が 20kN の場合には、ゆるみ回転角、軸力低下量とも、皿ばね座金の有無による差は小さいことが分かる。軸力低下量については、皿ばね座金を用いない場合に振動初期における低下が見られるが、その後の低下量は皿ばね座金を用いる場合と同等である。皿ばね座金を用いた場合と用いない場合の第 3 周期におけるゆるみ角は、それぞれ、0.36°、0.36°、軸力低下量はそれぞれ、406N、426Nである。図 2 に示した皿ばね座金の圧縮特性より、20kNの軸力が発生している場合には、皿ばね座金の巨視的なたわみ変形は終わり、皿ばね座金全面の圧縮の領域に達していることが分かる。そのため、図 4(b)に示すように、皿ばね座金とナット座面間の接触圧力分布は、軸力が 10kN の場合と比較して偏りが小さくなり、皿ばね座金を用いない場合と同等になる。したがって、皿ばね座金の有無によるゆるみ挙動の差は小さくなるものといえる。



(a) Initial bolt force is 10kN.



(b) Initial bolt force is 20kN.

Fig.3. Variation of relative rotation angle and bolt force in the case initial bolt force is (a)10kN and (b)20kN.

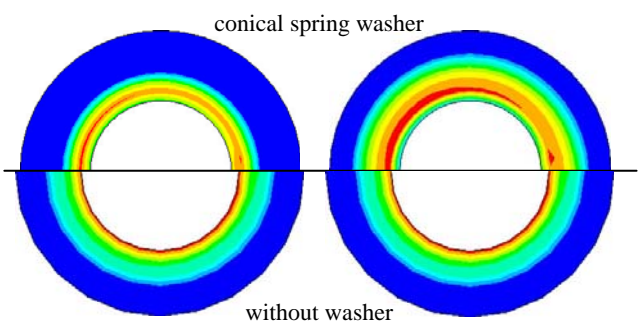
M10 ボルトの締付けにおいて、10kN という軸力は、強度 区分の低いボルトを使用する場合や, 被締結物の剛性が低い 場合に設定される可能性があるものの、初期締結力としては 小さな値である. 一般的な鋼構造物に皿ばね座金を使用する 場合には、20kN の場合のように、皿ばね座金の巨視的なた わみの領域を超えているものと考えられる. その場合, 図 3(b)に示したように、皿ばね座金を用いない場合とゆるみの 進行において差はない.しかし、ゆるみが進行して軸力がば ね力によって発生している状態になると, 軸力の低下量は小 さくなるため、ゆるみの進行を抑制する効果があるといえる. 3.2 微小座面すべりが発生する場合 外力が摩擦係数と軸 力の積に達すると完全座面すべりが発生するが、それ以下の 外力でも, ねじ面および座面に微小なすべりが発生すること によりゆるみが起こる. 初期締結力が 10kN の場合について, 軸直角方向外力とゆるみ回転角の関係を図5に示す. 横軸は 完全座面すべりを生じるときの外力 F_{cr} (摩擦係数 0.15 と軸 力 10kN の積)で外力 F を規格化した値(F/F_{cr}),縦軸は 20周期経過時のゆるみ回転速度である. 完全座面すべりが発生 する場合と同様に、皿ばね座金を用いた場合の方がゆるみ回 転角は大きいことが分かる.

4. 結 言

三次元有限要素法により、軸直角方向外力を受ける皿ばね 座金を用いた締結体のゆるみ挙動を解析し、皿ばね座金のゆ るみ止め効果を検証した、皿ばね座金が全たわみに達しない 軸力では、座面圧力が内径付近に偏るため、ゆるみ角が大き い、しかし、軸力の低下量は小さいため、ゆるみの進行を抑 制する効果があるといえる.

参考文献

- (1) 木村ほか、機論 A, 72, 719 (2006) 967.
- (2) 泉ほか, 機論 A, 72, 721 (2006) 1292.
- (3) G. H. Junker, SAE Transactions, 78 (1969) 314.
- (4) 坂口ほか, 機械設計, 46, 4 (2002) 130.
- (5) 山本 晃, ねじ締結の原理と設計(1995)49, 養賢堂.



(a) Initial bolt force is 10kN. (b) Initial bolt force is 20kN.

max

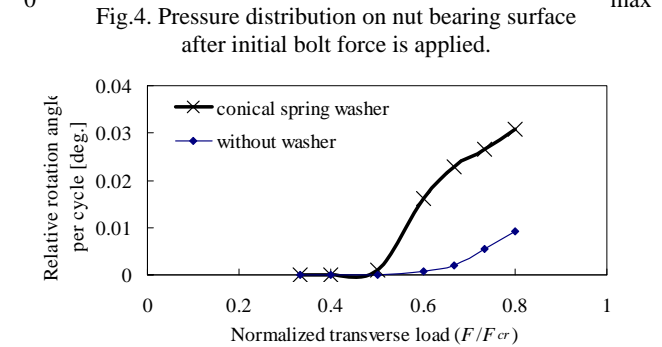


Fig.5. Dependence of loosening rate on normalized transverse load.